

SCAD++. О перспективах решения задач с учетом физической нелинейности

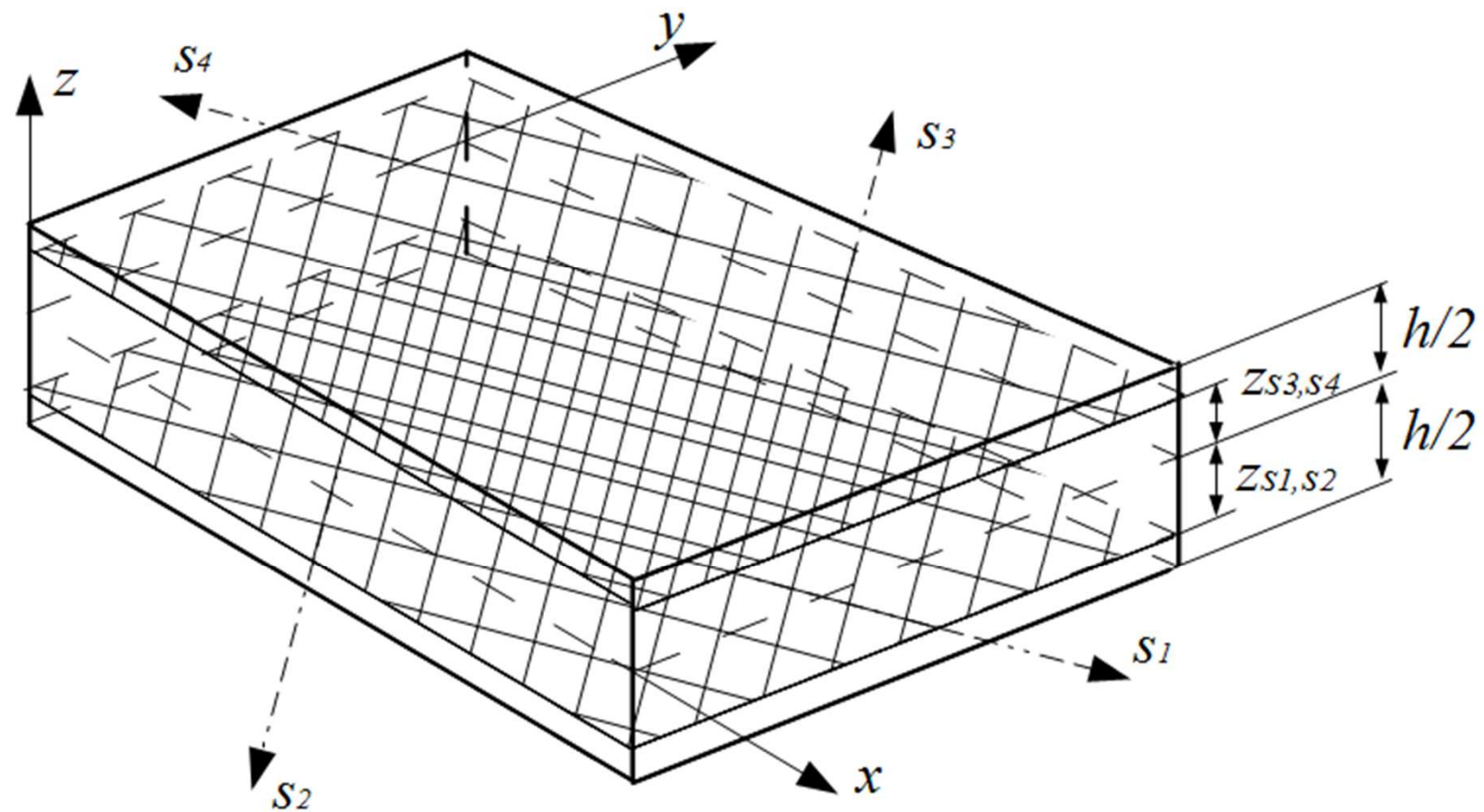
С. Ю. Фиалко

Технический университет
«Краковская Политехника»

sergiy.fialko@gmail.com

Постановка задачи

- **В данной работе предлагается четырехузловой изопараметрический конечный элемент, позволяющий моделировать процесс деформирования тонкостенных железобетонных элементов конструкций – фундаментных плит, плит перекрытий, несущих стен, пилонов и т. д.**
- **Бетон представляется изотропным материалом, поведение которого описывается соотношениями деформационной теории пластичности с элементами деградации, сформулированной в терминах остаточных деформаций.**
- **Арматура моделируется бесконечно тонким слоем, работающим на растяжение-сжатие в направлении осей арматурных стержней. Проскальзывание между арматурой и бетоном отсутствует.**
- **Используется теория оболочек средней толщины Миндлина – Рейсснера. Деформации и углы поворота считаются малыми.**



S_1, S_2 – направления укладки нижней арматуры; s_3, s_4 – верхней.

z_{s1}, z_{s2} – расстояние от срединной поверхности до соответствующего слоя верхней арматуры, z_{s3}, z_{s4} – нижней.

h - толщина плиты.

$Oxyz$ – локальная система координат конечного элемента.

Бетон

Тензор напряжений:

$$T_{\sigma} = \begin{pmatrix} \sigma_x & \tau_{xy} & \tau_{xz} \\ \tau_{yx} & \sigma_y & \tau_{yz} \\ \tau_{zx} & \tau_{zy} & 0 \end{pmatrix} \quad \sigma = \frac{1}{3}(\sigma_x + \sigma_y + \sigma_z|_{=0}) = \frac{1}{3}(\sigma_x + \sigma_y)$$

Приведенные напряжения: $\sigma_i = \sqrt{\sigma_x^2 + \sigma_y^2 - \sigma_x \sigma_y + 3(\tau_{xy}^2 + \tau_{yz}^2 + \tau_{xz}^2)}$

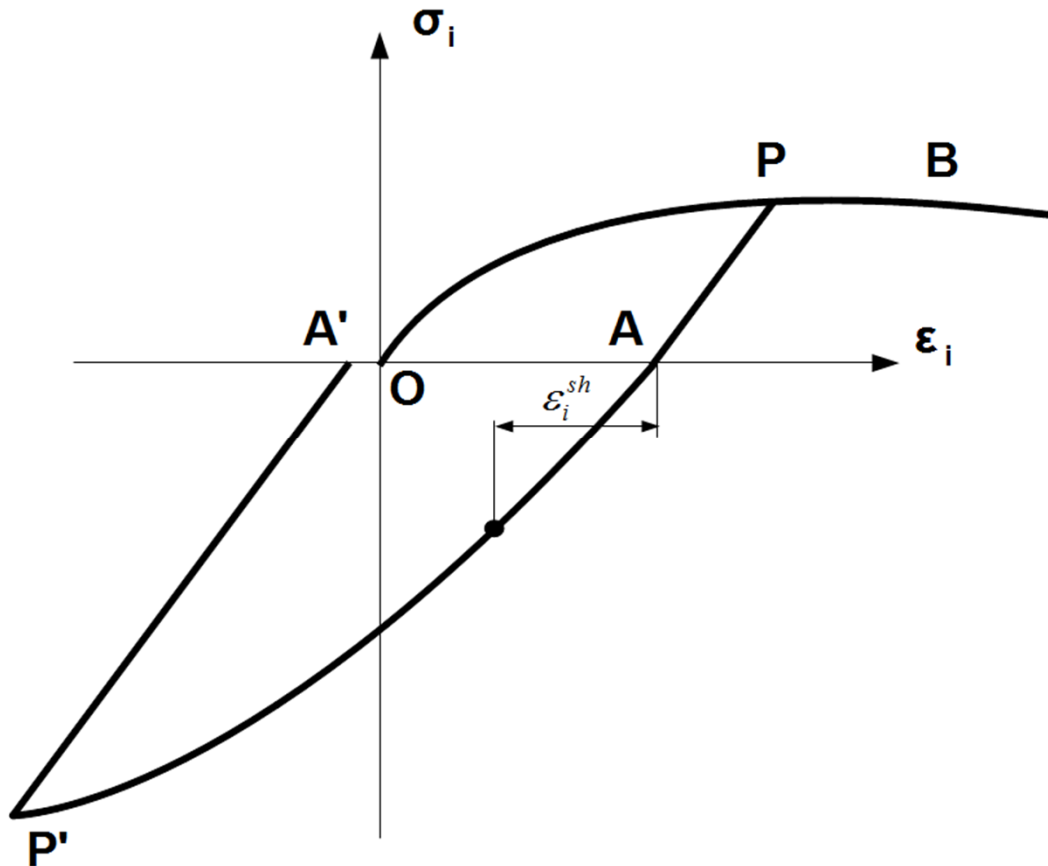
Тензор деформаций:

$$T_{\varepsilon} = \begin{pmatrix} \varepsilon_x & \frac{1}{2}\gamma_{xy} & \frac{1}{2}\gamma_{xz} \\ \frac{1}{2}\gamma_{yx} & \varepsilon_y & \frac{1}{2}\gamma_{yz} \\ \frac{1}{2}\gamma_{zx} & \frac{1}{2}\gamma_{zy} & \varepsilon_z \end{pmatrix} \quad \sigma_z = 0 = \frac{E}{1+\nu} \left(\varepsilon_z + \frac{\nu}{1-2\nu} \theta \right), \quad \theta = \varepsilon_x + \varepsilon_y + \varepsilon_z$$
$$\varepsilon_z = -\frac{\nu}{1-\nu} (\varepsilon_x + \varepsilon_y)$$

Приведенные деформации:

$$\varepsilon_i = \frac{2}{\sqrt{3}} \sqrt{\frac{1-\nu+\nu^2}{3(1-\nu)^2} (\varepsilon_x^2 + \varepsilon_y^2) - \frac{1-4\nu+\nu^2}{3(1-\nu)^2} \varepsilon_x \varepsilon_y + \frac{1}{4} (\gamma_{xy}^2 + \gamma_{xz}^2 + \gamma_{yz}^2)}$$

Диаграмма $\sigma_i - \varepsilon_i$ (бетон):



OP – активное нагружение.
(текущий шаг: $\varepsilon_i \geq \varepsilon_p, \varepsilon_p \leftarrow \varepsilon_i$).

P – начало разгрузки

PA – разгрузка

($\varepsilon_i < \varepsilon_p, P$ – «заморожено».

Если $\varepsilon_A < \varepsilon_i < \varepsilon_p$ и ε_i возрастает,
движемся по траектории AP, P –
«заморожено».

Если далее $\varepsilon_i \geq \varepsilon_p$, активное
нагружение – траектория PB,
 $\varepsilon_p \leftarrow \varepsilon_i$).

AP' – активное нагружение
другого знака ($\varepsilon_i < \varepsilon_A$).

P'A' – разгрузка.

A, A' – точки вычисления остаточных напряжений.

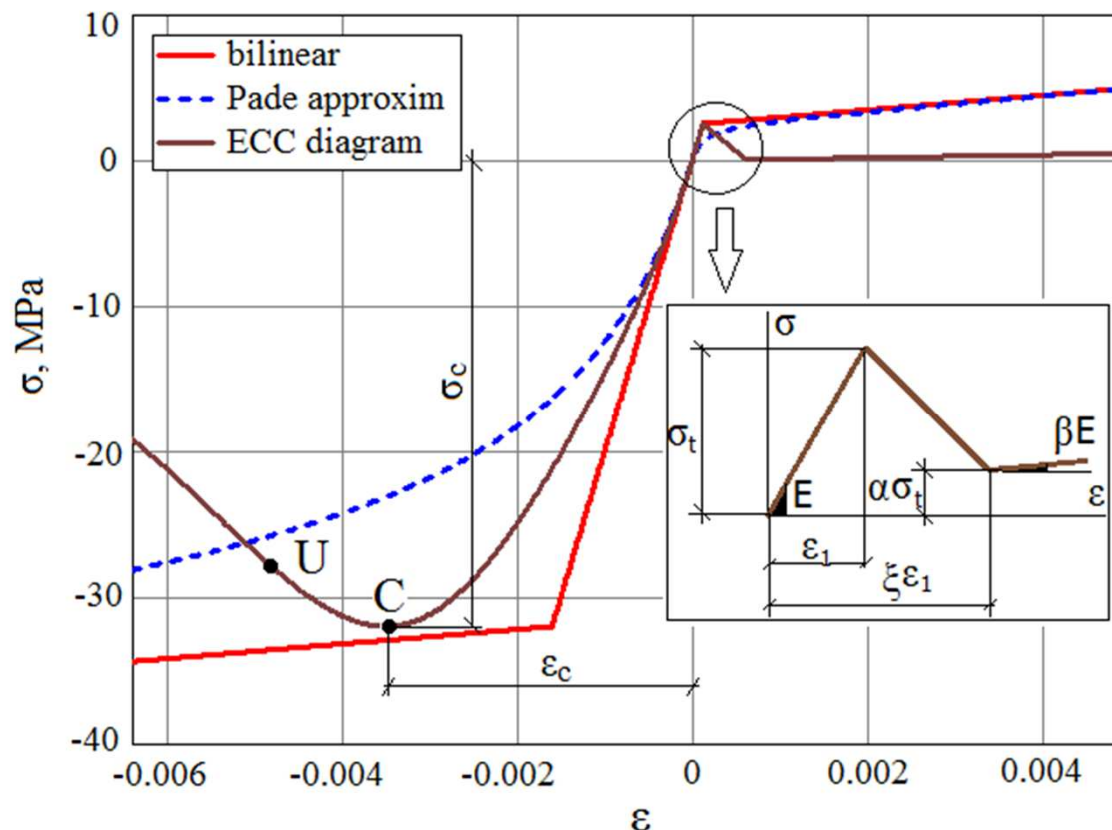
Диаграмма $\sigma_i - \varepsilon_i$ (бетон):

Аппроксимация Паде
билинейной диаграммы

$$\sigma(\varepsilon) = \begin{cases} \frac{\varepsilon(E\varepsilon_1 + E_1\varepsilon)}{\varepsilon + \varepsilon_1} & \varepsilon \geq 0, \\ \frac{\varepsilon(E\varepsilon_2 + E_2\varepsilon)}{\varepsilon + \varepsilon_2} & \varepsilon < 0 \end{cases}$$

Диаграмма ЕКБ

$$\sigma(\varepsilon) = \begin{cases} E\varepsilon & 0 \leq \varepsilon \leq \varepsilon_1, \\ \alpha\sigma_t + \frac{(1-\alpha)E}{1-\xi}(\varepsilon - \xi\varepsilon_1) & \varepsilon_1 \leq \varepsilon \leq \xi\varepsilon_1, \xi > 1, \\ \alpha\sigma_t + \beta E(\varepsilon - \xi\varepsilon_1) & \varepsilon > \xi\varepsilon_1, \\ \frac{E}{E_s} \varepsilon_s \sigma_c & \\ \frac{E}{1 + A\varepsilon_s + B\varepsilon_s^2 + C\varepsilon_s^3} & \varepsilon_{ul} \leq \varepsilon < 0 \end{cases}$$



σ_c, σ_t – предел прочности бетона на сжатие и растяжение,
 $\varepsilon_c, \varepsilon_1$ – соответствующие им деформации.
 U – точка, соответствующая предельным деформациям бетона на сжатие.

- **Активное нагружение (бетон):**

$$\begin{cases} \vec{\sigma} = D(\varepsilon_i)(\vec{\varepsilon} - \vec{\varepsilon}_A) \\ \vec{\tau} = D_{sh}(\varepsilon_i)(\vec{\gamma} - \vec{\gamma}_A) \end{cases},$$

$$D(\varepsilon_i) = \frac{\sigma_i}{3\varepsilon_i^{sh}} \begin{pmatrix} 2 & 2\nu & 0 \\ 1-\nu & 1-\nu & 0 \\ 2\nu & 2 & 0 \\ 1-\nu & 1-\nu & 0 \\ 0 & 0 & 1 \end{pmatrix}, \quad D_{sh}(\varepsilon_i) = \frac{\sigma_i}{3\varepsilon_i^{sh}} \begin{pmatrix} k & 0 \\ 0 & k \end{pmatrix},$$

$$\vec{\sigma} = \begin{pmatrix} \sigma_x \\ \sigma_y \\ \tau_{xy} \end{pmatrix}, \quad \vec{\tau} = \begin{pmatrix} \tau_{xz} \\ \tau_{yz} \end{pmatrix}, \quad \vec{\varepsilon} = \begin{pmatrix} \varepsilon_x \\ \varepsilon_y \\ \gamma_{xy} \end{pmatrix}, \quad \vec{\gamma} = \begin{pmatrix} \gamma_{xz} \\ \gamma_{yz} \end{pmatrix},$$

$$\vec{\varepsilon}_A = \begin{pmatrix} \varepsilon_x^A \\ \varepsilon_y^A \\ \gamma_{xy}^A \end{pmatrix}, \quad \vec{\gamma}_A = \begin{pmatrix} \gamma_{xz}^A \\ \gamma_{yz}^A \end{pmatrix}$$

- Приведенная деформация:

$$\varepsilon_i^{sh} = \frac{2}{\sqrt{3}} \sqrt{\frac{1-\nu+\nu^2}{3(1-\nu)^2} (\bar{\varepsilon}_x^2 + \bar{\varepsilon}_y^2) - \frac{1-4\nu+\nu^2}{3(1-\nu)^2} \bar{\varepsilon}_x \bar{\varepsilon}_y + \frac{1}{4} (\bar{\gamma}_{xy}^2 + \bar{\gamma}_{xz}^2 + \bar{\gamma}_{yz}^2)},$$

$$\bar{\varepsilon}_x = \varepsilon_x - \varepsilon_x^A, \quad \bar{\varepsilon}_y = \varepsilon_y - \varepsilon_y^A, \quad \bar{\gamma}_{xy} = \gamma_{xy} - \gamma_{xy}^A, \quad \bar{\gamma}_{xz} = \gamma_{xz} - \gamma_{xz}^A,$$

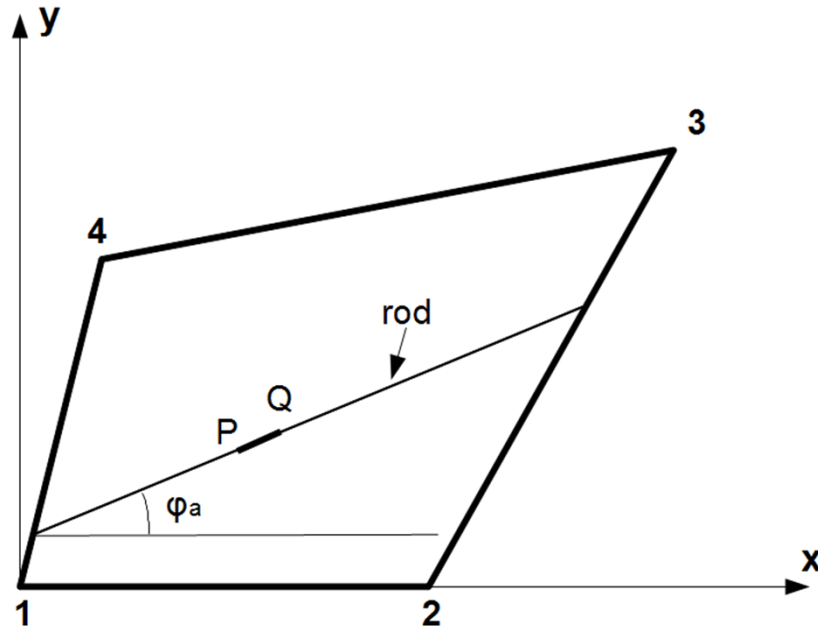
$$\bar{\gamma}_{yz} = \gamma_{yz} - \gamma_{yz}^A$$

- Разгрузка (бетон):

$$\begin{cases} \vec{\sigma} = \vec{\sigma}_{un} + D_{el} \vec{\varepsilon} \\ \vec{\tau} = \vec{\tau}_{un} + D_{el}^{sh} \vec{\gamma} \end{cases}, \quad \vec{\sigma}_{un} = \begin{pmatrix} \sigma_x^P - \frac{E}{1-\nu^2} (\varepsilon_x^P + \nu \varepsilon_y^P) \\ \sigma_y^P - \frac{E}{1-\nu^2} (\varepsilon_y^P + \nu \varepsilon_x^P) \\ \tau_{xy}^P - G \gamma_{xy}^P \end{pmatrix}, \quad \vec{\tau}_{un} = \begin{pmatrix} \tau_{xz}^P - G \gamma_{xz}^P \\ \tau_{yz}^P - G \gamma_{yz}^P \end{pmatrix}$$

$$D_{el} = \begin{pmatrix} \frac{E}{1-\nu^2} & \frac{\nu E}{1-\nu^2} & 0 \\ \frac{\nu E}{1-\nu^2} & \frac{E}{1-\nu^2} & 0 \\ 0 & 0 & G \end{pmatrix}, \quad D_{el}^{sh} = \begin{pmatrix} kG & 0 \\ 0 & kG \end{pmatrix}, \quad G = \frac{E}{2(1+\nu)}, \quad k = \frac{5}{6}$$

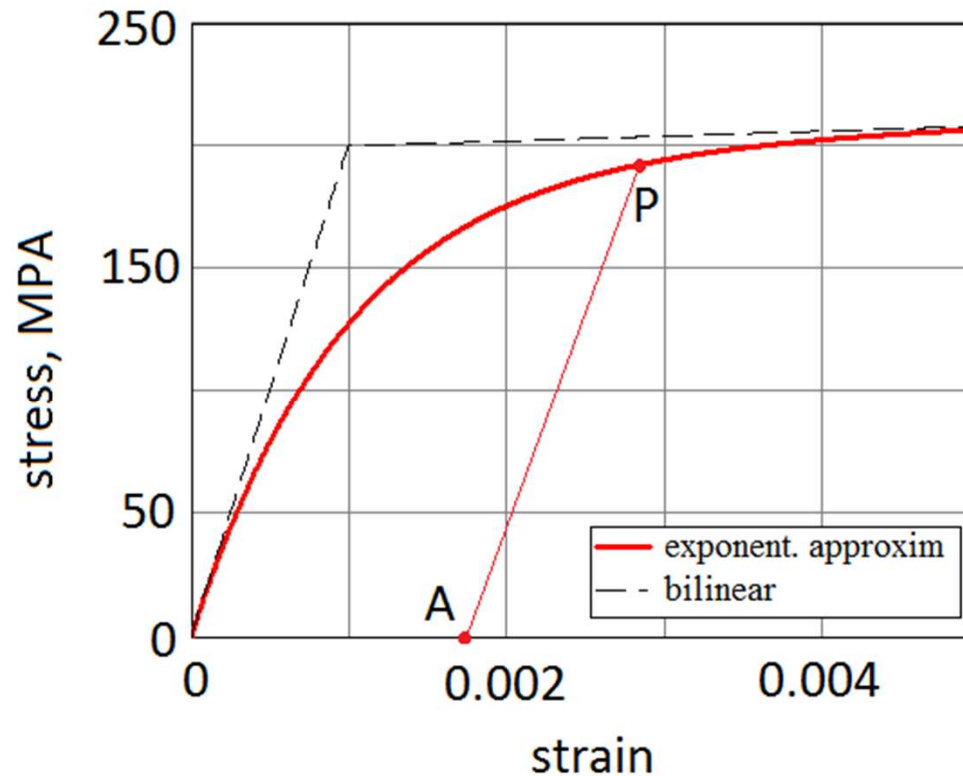
Арматура.



Предполагаем, что арматурные стержни работают только на растяжение-сжатие.

$$\varepsilon_s = \varepsilon_x \cos^2 \varphi_a + \varepsilon_y \sin^2 \varphi_a$$

- Поскольку при реальном армировании и густоте сетки на каждый конечный элемент приходится большое к-во стержней, а функции формы обладают медленной изменемостью в пределах КЭ, мы заменяем дискретные стержни равномерно «размазанным» «арматурным слоем». Математически это выражается в замене конечных сумм интегралом по площади КЭ.



Экспоненциальная аппроксимация билинейной диаграммы:

$$\sigma_s = (E\lambda^{-1} + E_1\varepsilon_s)(1 - e^{-\lambda\varepsilon_s}), \quad \lambda = E^2 / [\sigma_y(E - E_1)]$$

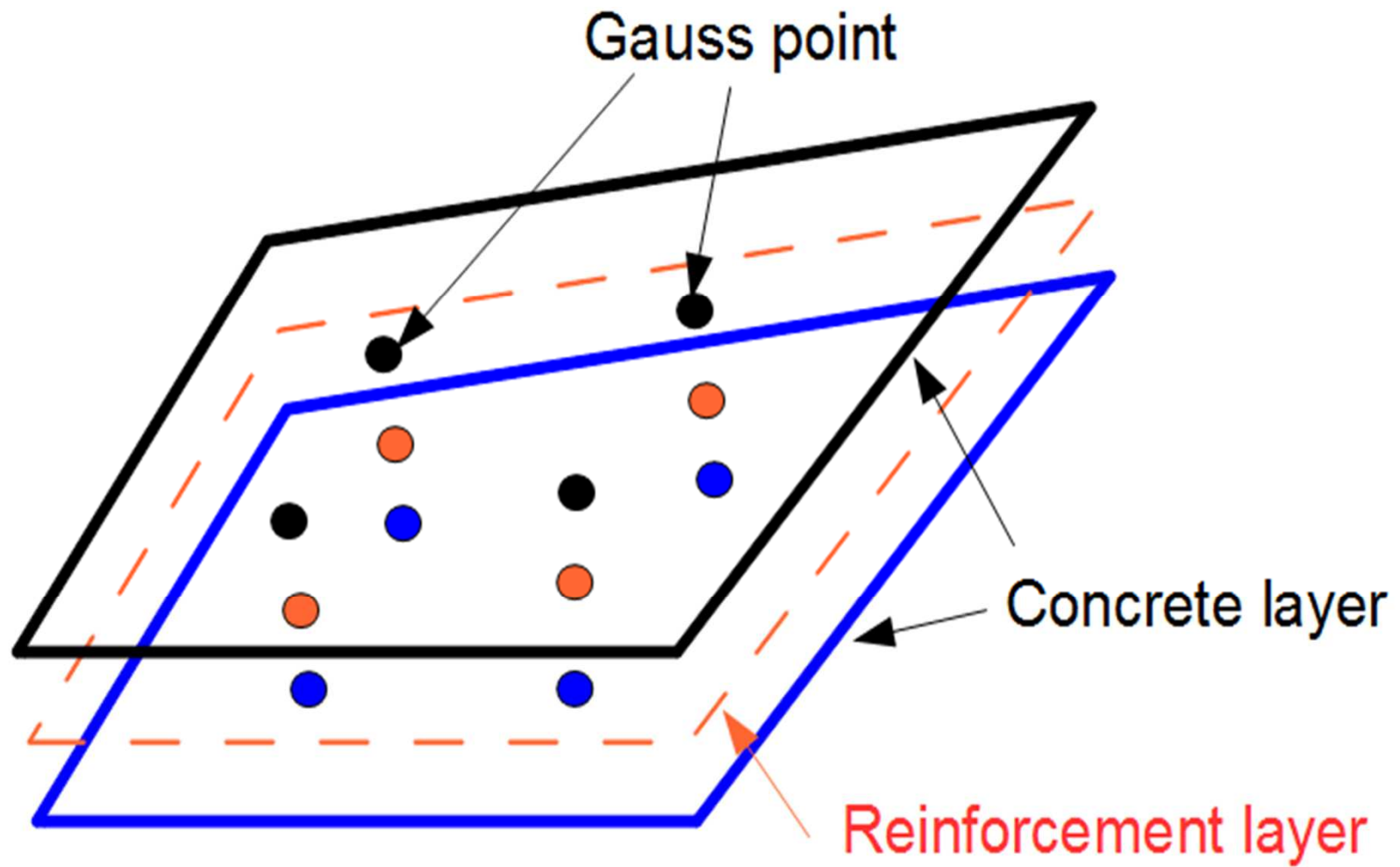
Активное нагружение: $\sigma_s = E_s(\varepsilon_s) \cdot (\varepsilon_s - \varepsilon_A^s)$

Разгрузка: $\sigma_s = \sigma_{un}^s + E_s\varepsilon_s, \quad \sigma_{un}^s = \sigma_P^s - E_s\varepsilon_P^s$

Для получения уравнения равновесия на уровне конечного элемента используется принцип возможных перемещений:

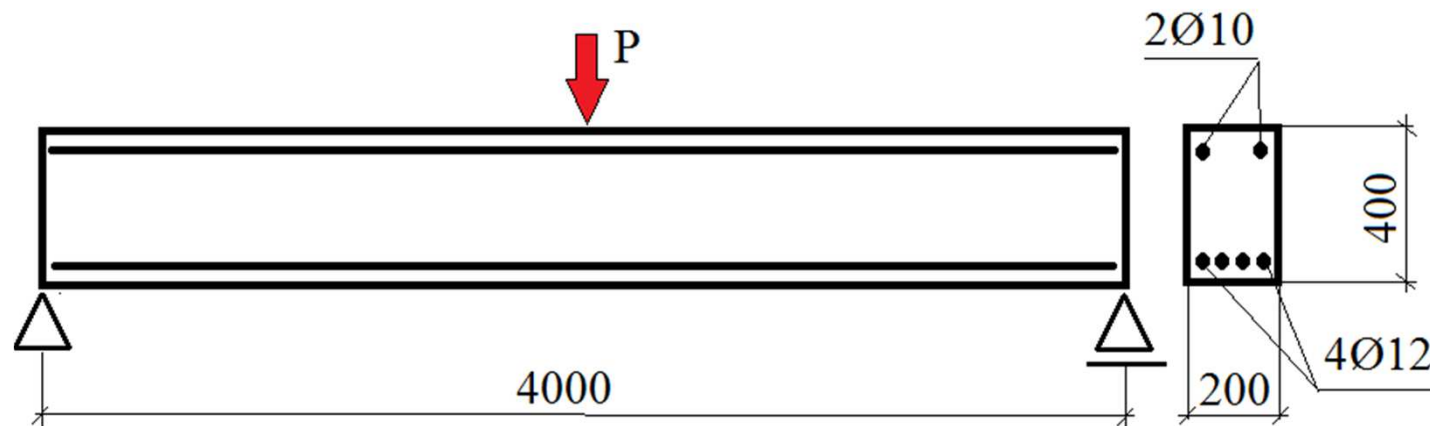
$$\underbrace{\iint_{\Omega} \int_{-\frac{h}{2}}^{\frac{h}{2}} (\delta \vec{\varepsilon}^T \cdot \vec{\sigma} + \delta \vec{\gamma}^T \cdot \vec{\tau}) dz d\Omega}_{\text{Virtual work for concrete}} + \underbrace{\sum_s \iint_{\Omega} \frac{A_s}{h_s} \sigma_s \delta \varepsilon_s(z_s) d\Omega}_{\substack{\text{Virtual work for steel rods} \\ s - \text{number of layer}}} - \underbrace{\delta A_{ext}}_{\text{Virtual work for external loads}} = 0$$

- При вычислении интегралов по толщине оболочки применяется метод трапеций. В результате оболочка по толщине разбивается на слои.
- Интегралы по площади КЭ вычисляются с помощью квадратурных формул Гаусса-Лежандра. Используется изопараметрическое преобразование.
- Физико-механические характеристики бетона и арматуры для текущего этапа нагружения определяются в каждой точке Гаусса для каждого слоя бетона и арматурных слоев.



Пример 1. Балка прямоугольного сечения под действием сосредоточенной силы посреди пролета.

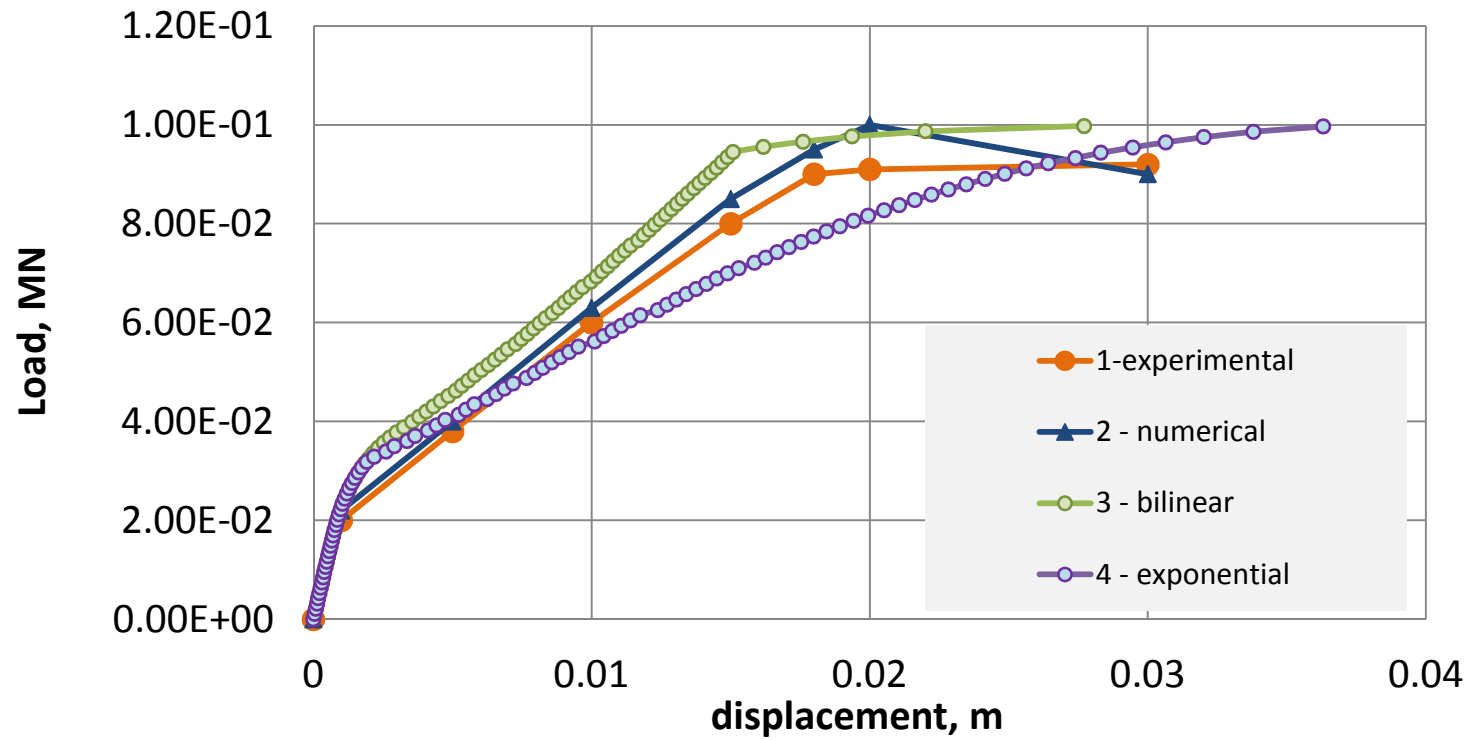
Rabczuk T., Belytschko T. Application of particle methods to static fracture of reinforced concrete structures. // *International journal of fracture*, 137, pp. 19 – 49, 2006.



**Бетон: $E = 28\,000$ МПа, $\sigma_c = 32$ МПа, $\sigma_{ul} = 0.85\sigma_c$,
 $\sigma_t = 2.5$ МПа, $\nu = 0.22$, $\epsilon_c = 0.0035$, $\epsilon_{ul} = 1.41 \epsilon_c$**

Арматура: $E_s = 200\,000$ МПа, $\sigma_y^s = 587$ МПа .

Нагрузка - прогиб

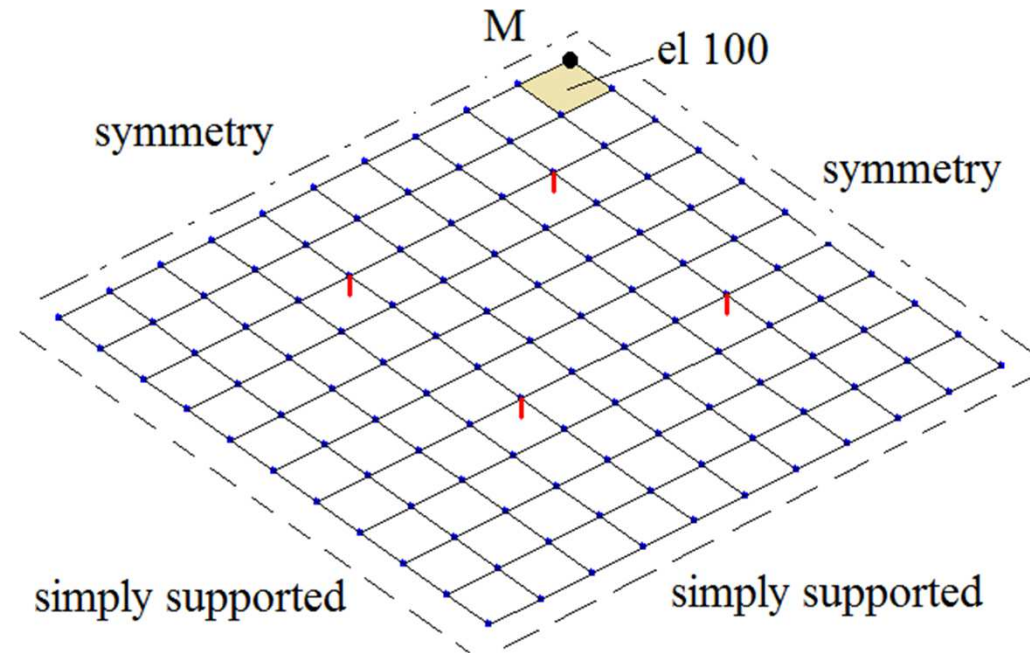
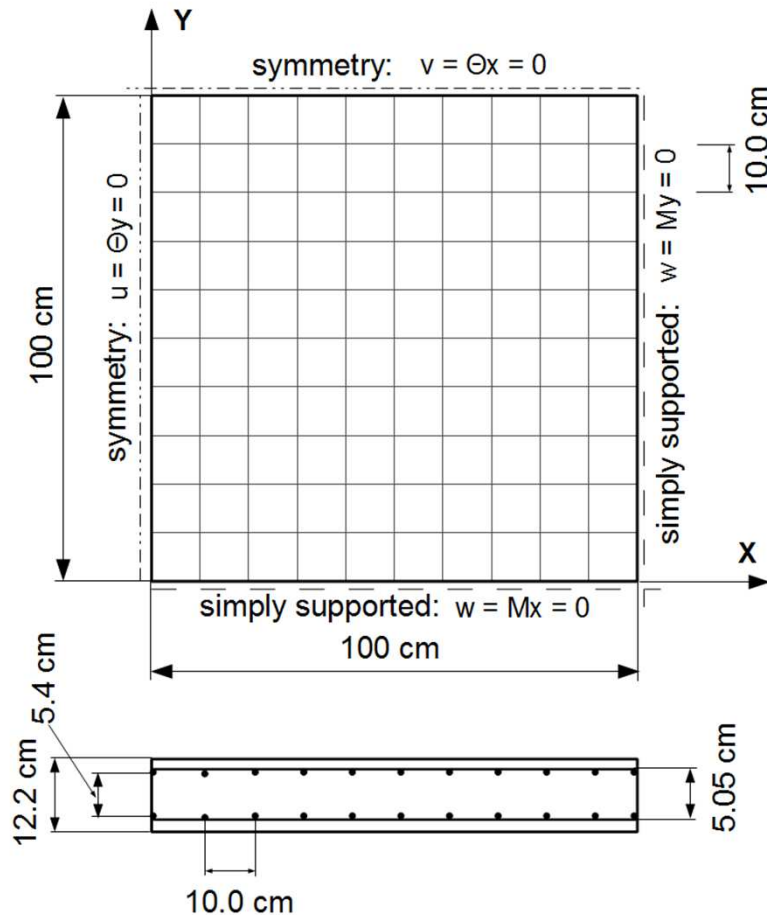


Concrete: $\xi = 5$ (ECC). Steel: bilinear and exponential approximation.

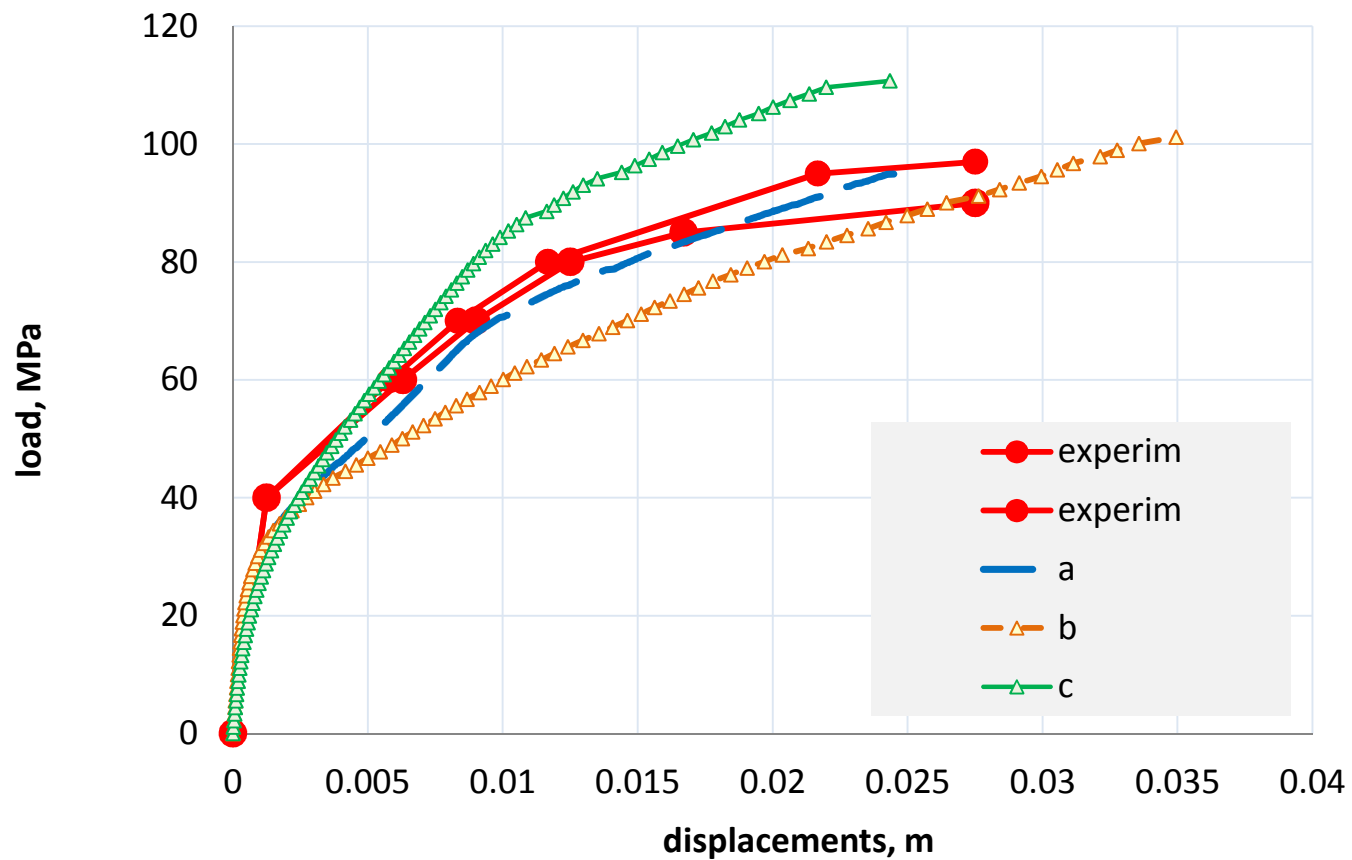
Пример 2. Изгиб квадратной плиты.

Карпенко Н. И. Теория железобетона с трещинами.

М.: Стройиздат, 1976.

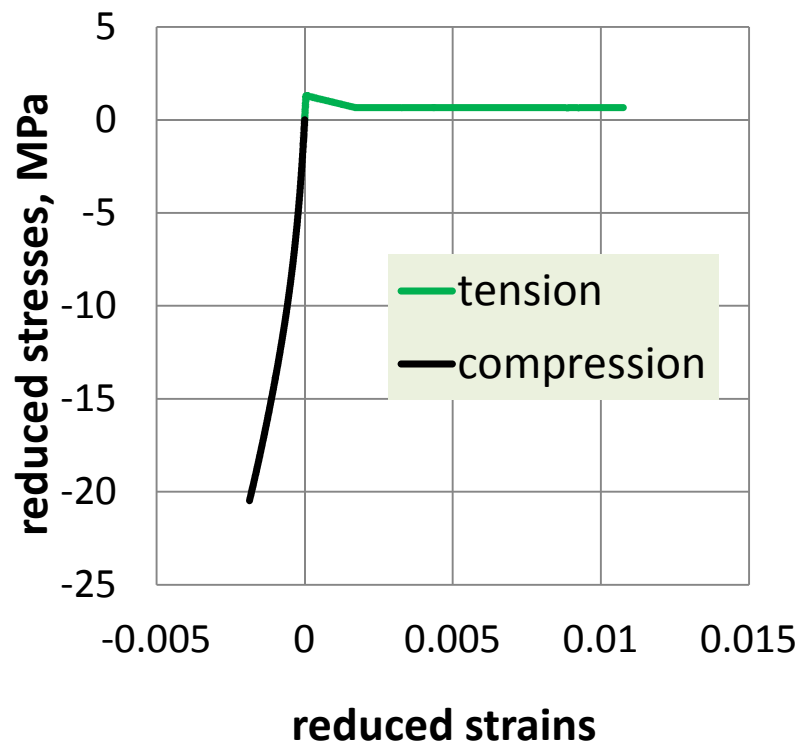


Кривая	E_b , МПа	ν	Тип диаг. бетон	ξ	σ_c , МПа	σ_t , МПа	$E_{b,1}$, $E_{b,2}$ МПа	Тип диаг. сталь	E_s , МПа	$E_{s,1}$, $E_{s,2}$ МПа
а	30 000	0.2	ЕКБ	40	26.5	1.3	-	билинейн.	201 000	20 000
б	30 000	0.2	ЕКБ	40	26.5	1.3	-	экспонен.	201 000	20 000
с	30 000	0.2	Паде	-	26.5	1.3	100	билинейн.	201 000	15 000



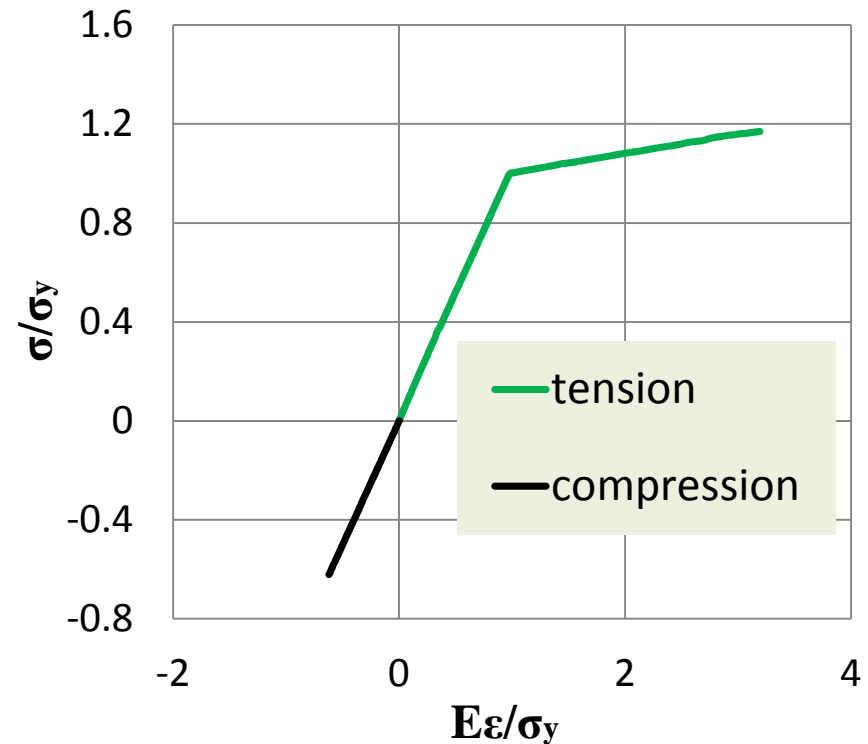
**Образцы
825, 826, 827.**

Элемент 100.



Бетон:

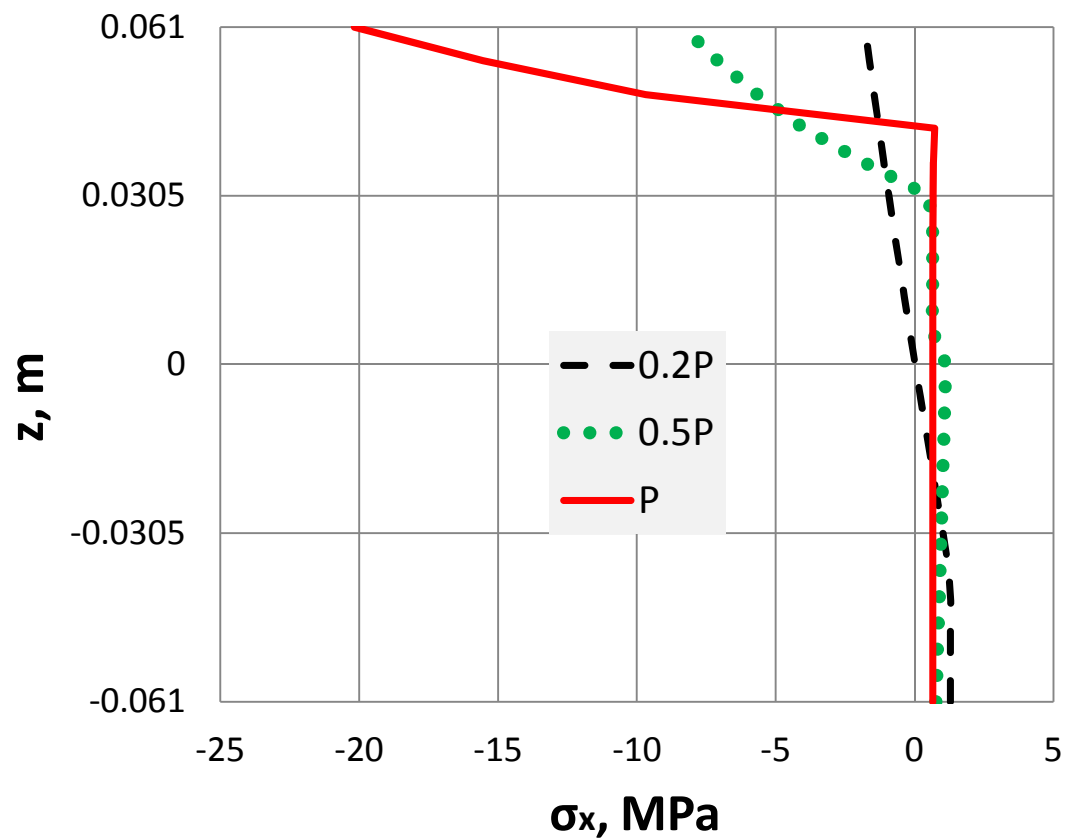
Приведенные напряжения – приведенные деформации для наиболее сжатого и наиболее растянутого волокон.



Сталь:

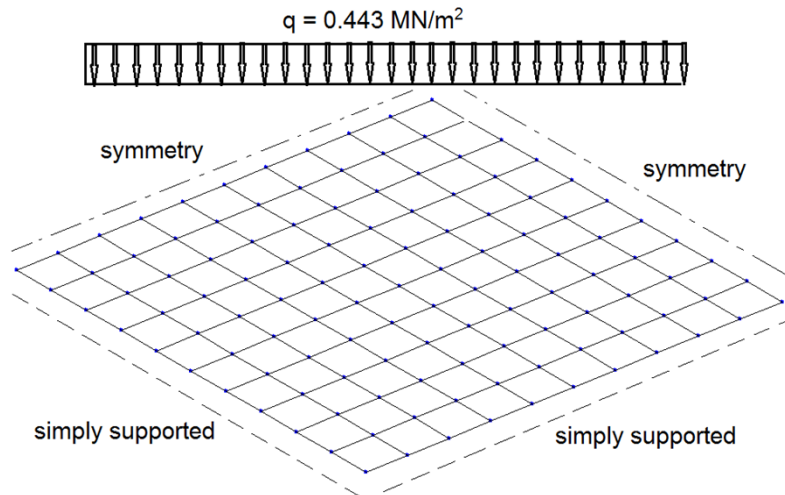
диаграмма $\sigma/\sigma_y - E\varepsilon/\sigma_y$ для сжатой и растянутой арматуры.

Распределение напряжений в бетоне по высоте сечения при различных уровнях нагружения. Элемент №100.
 $\sigma_t = 1.3 \text{ МПа}$, $\xi = 40$, $\alpha = 0.5$, $\beta = 0$.

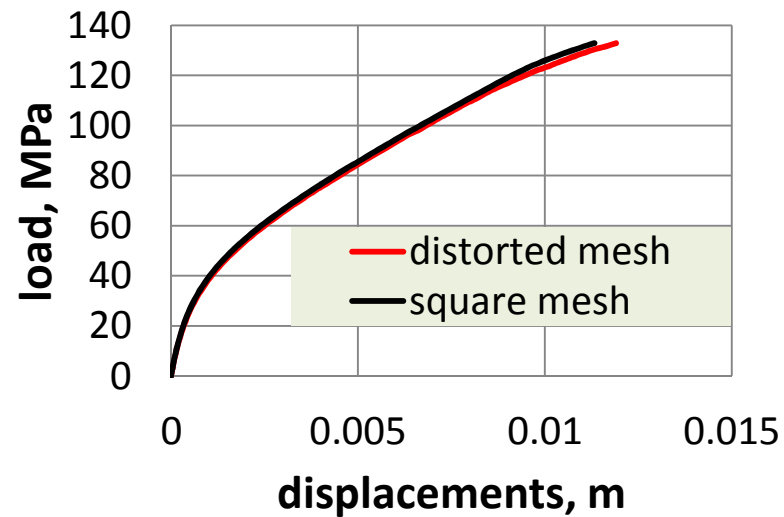
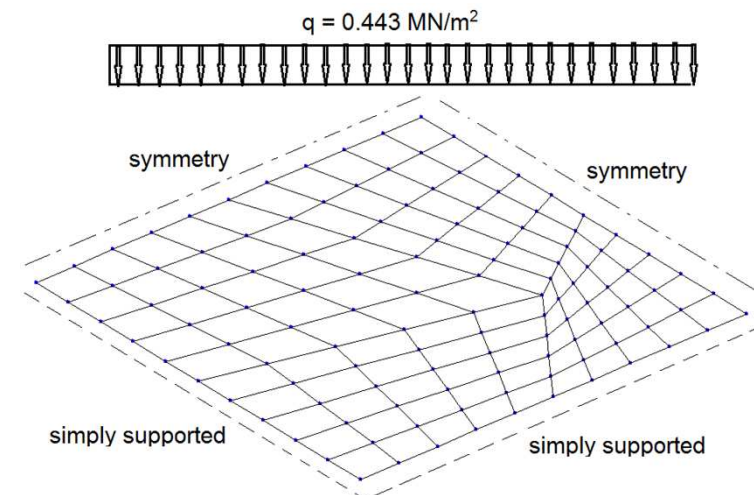


Пример 3. Сравнение решений на квадратной и косоугольной сетках.

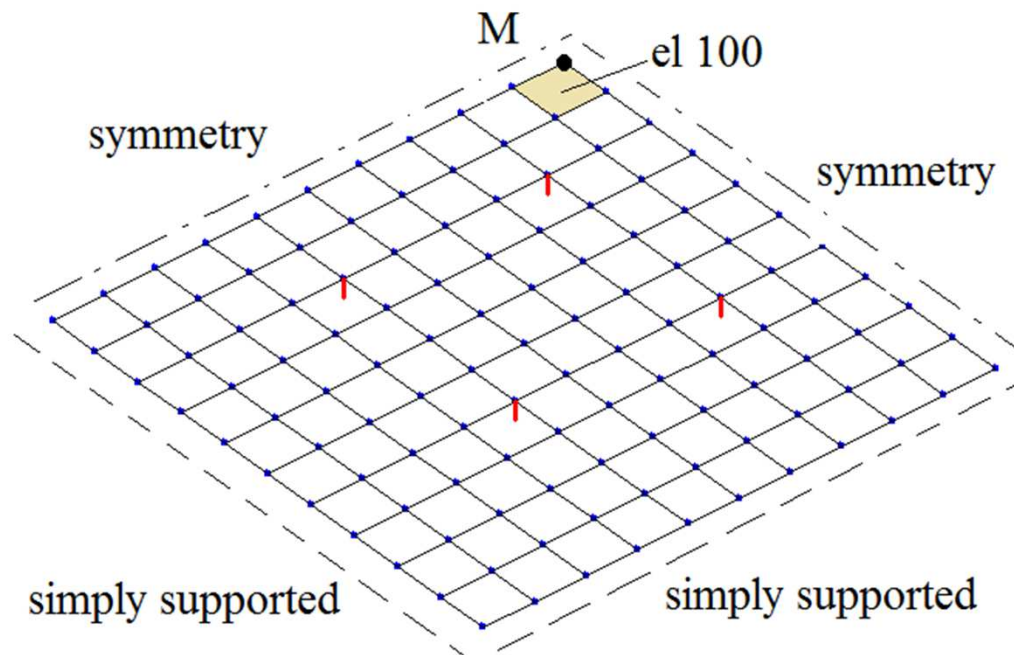
Квадратная сетка



Косоугольная сетка



Пример 3. Циклическое нагружение.



E_b , МПа	ν	Тип диаг. бетон	ξ	σ_c , МПа а	σ_t , МПа	Тип диаг. сталь	E_s , МПа	$E_{s,1}$, $E_{s,2}$ МПа
30 000	0.2	ЕКБ	30	19.9	2.65	билинейн.	201 000	1 000

Нагрузка – прогиб в центре пластины

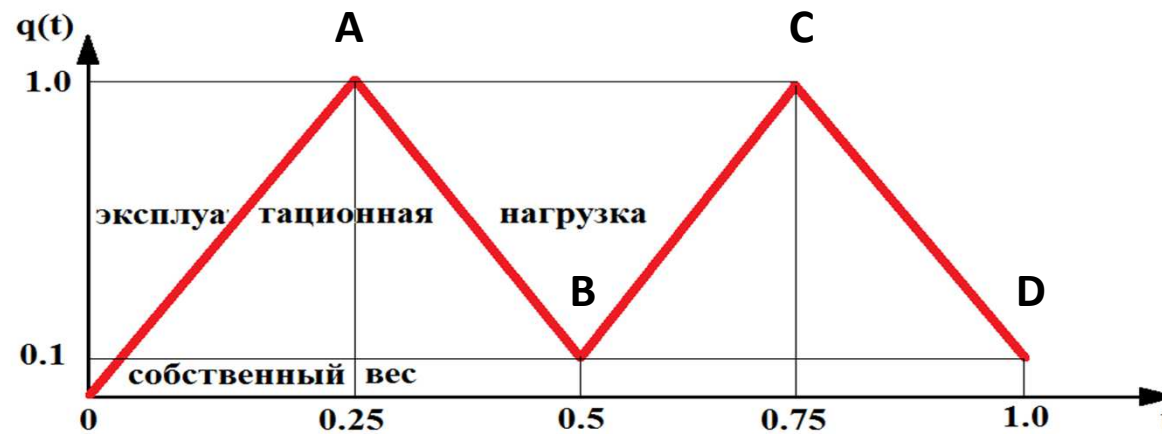
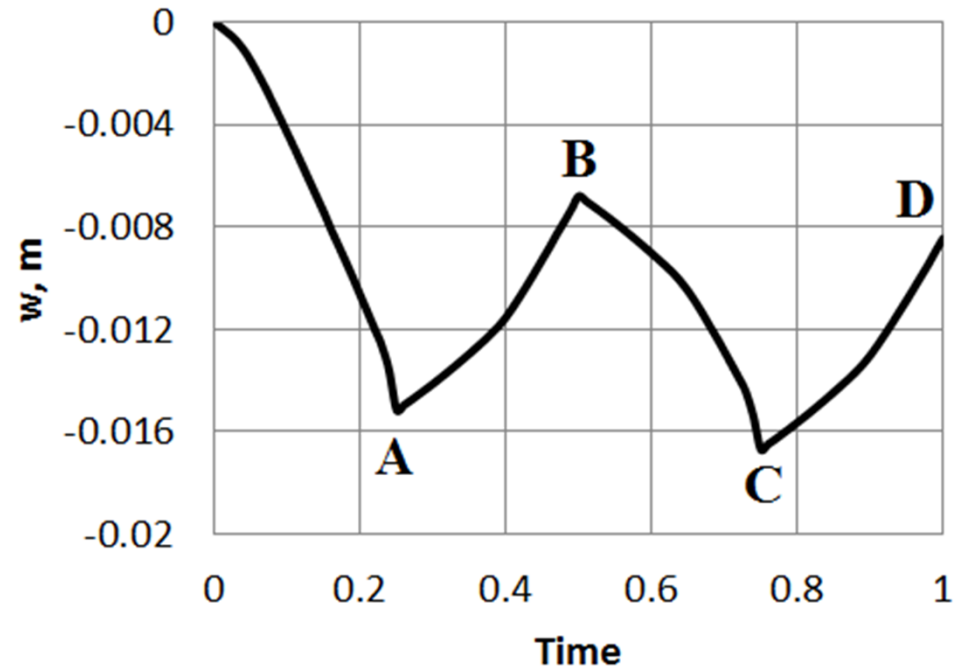
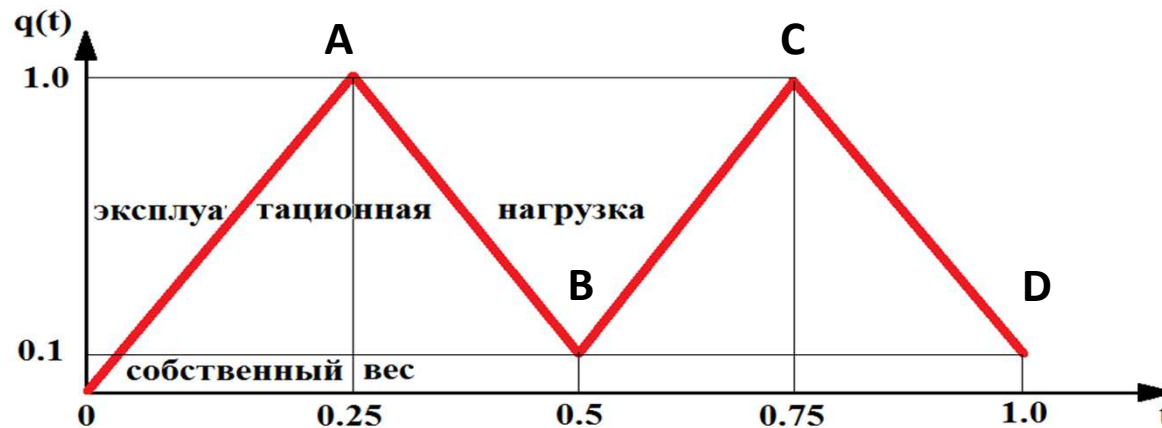
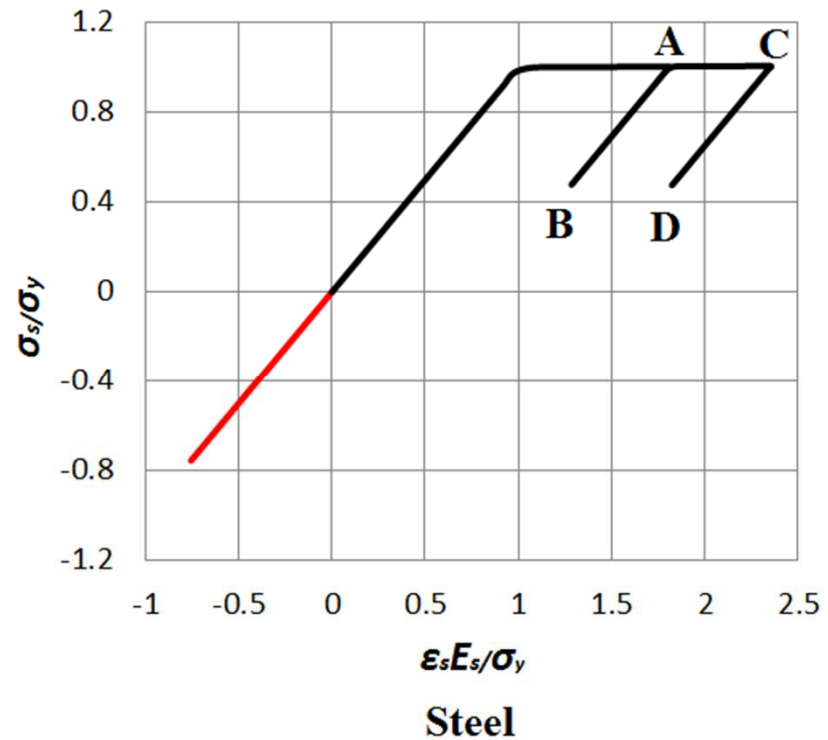
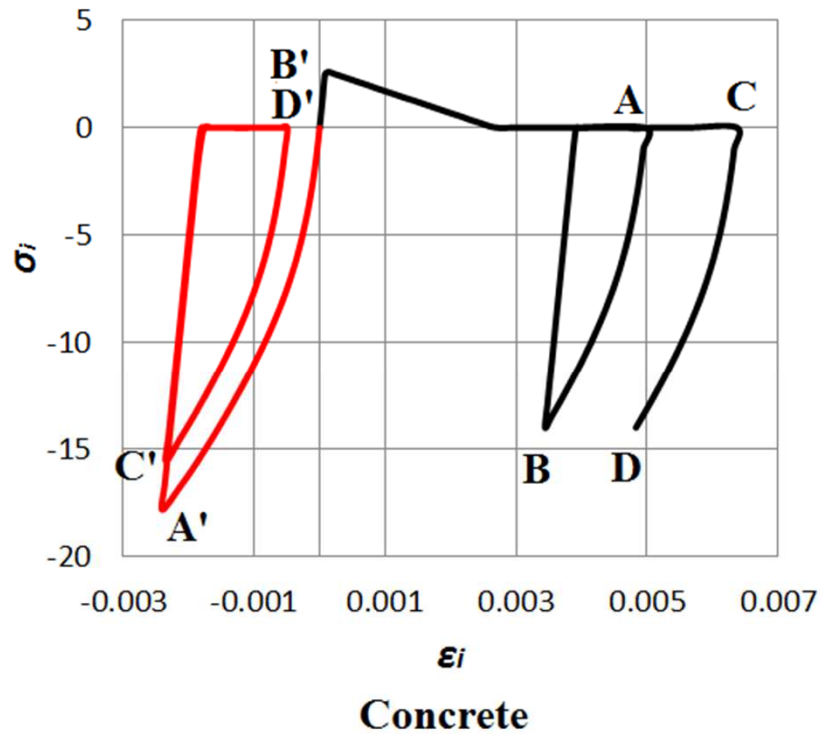
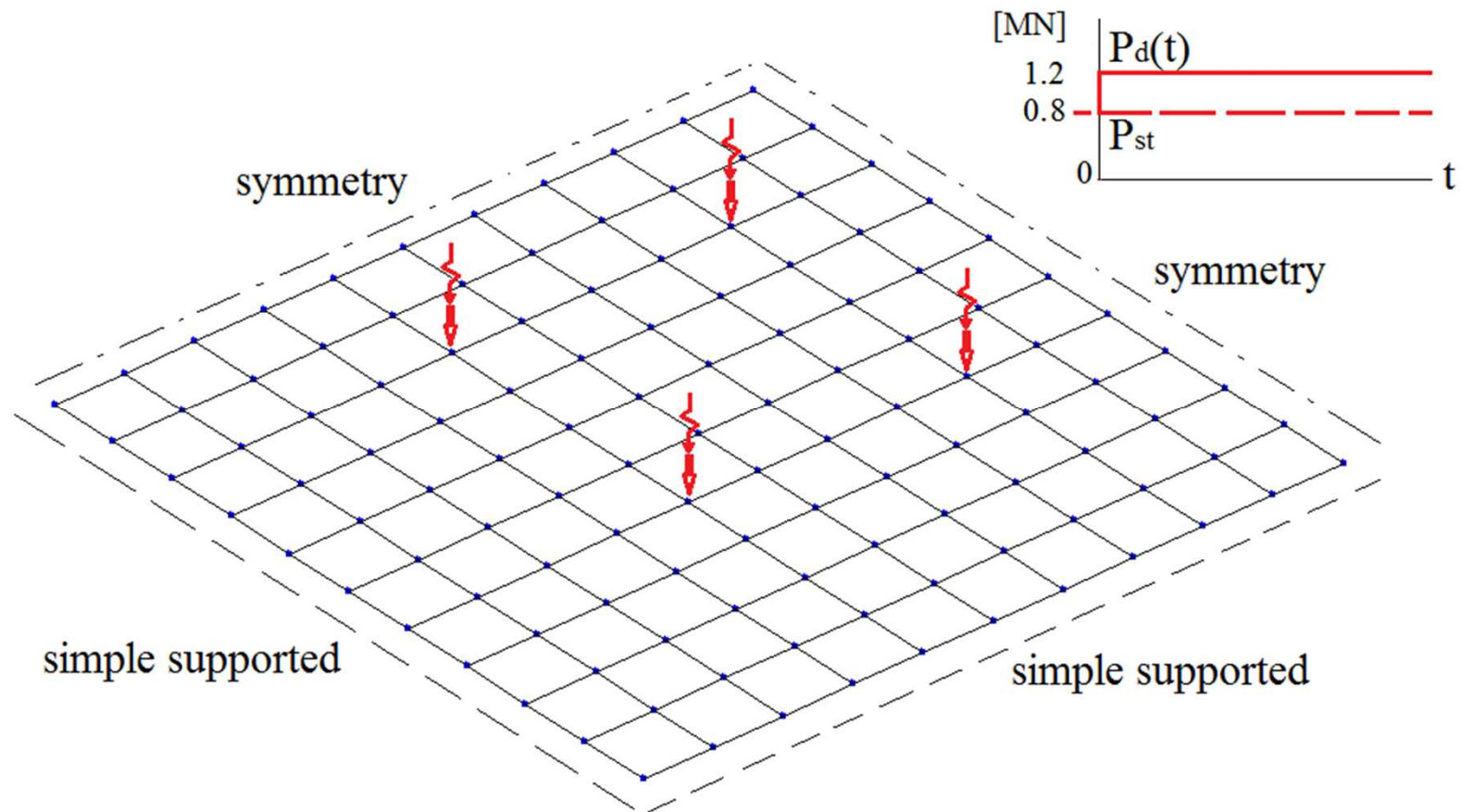


Диаграмма $\sigma_i - \varepsilon_i$ для бетона. Элемент 100. Наиболее растянутое и наиболее сжатое волокно.



Пример 4. Динамическое нагружение.



Постановка задачи:

1. Сначала прикладывается статическая нагрузка P_{st} (решается нелинейная задача статики).
2. Затем прикладывается динамическая нагрузка $P_d(t)$, причем начальные перемещения для нелинейной задачи динамики соответствуют статическим перемещениям.

Вертикальные перемещения узла 3:

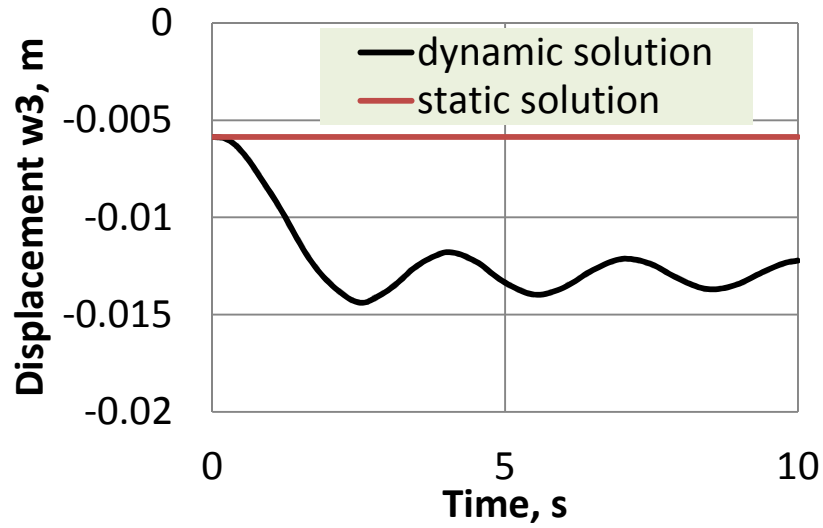


Диаграмма $\sigma_i - \epsilon_i$ для бетона. Элемент 100.

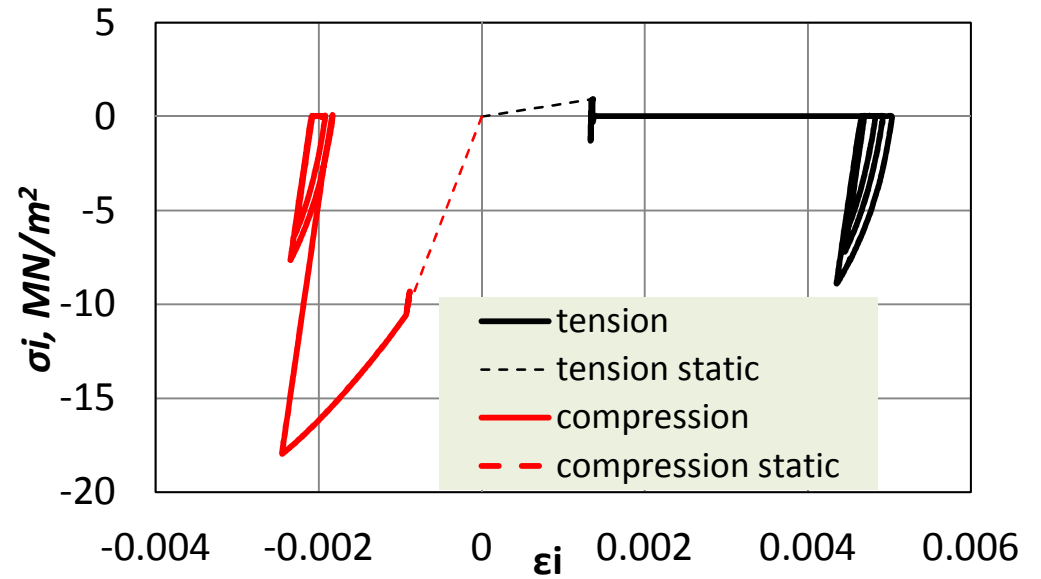
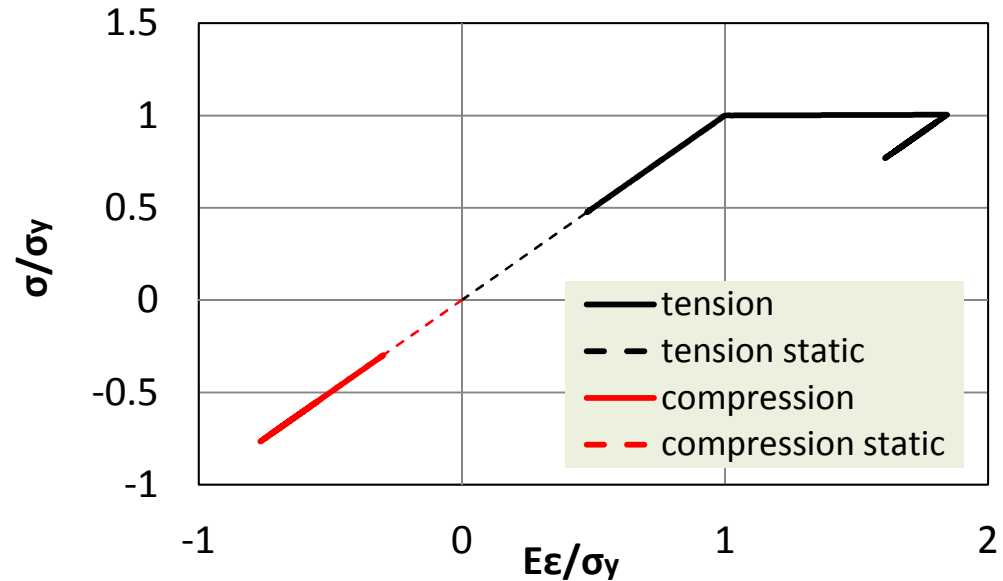
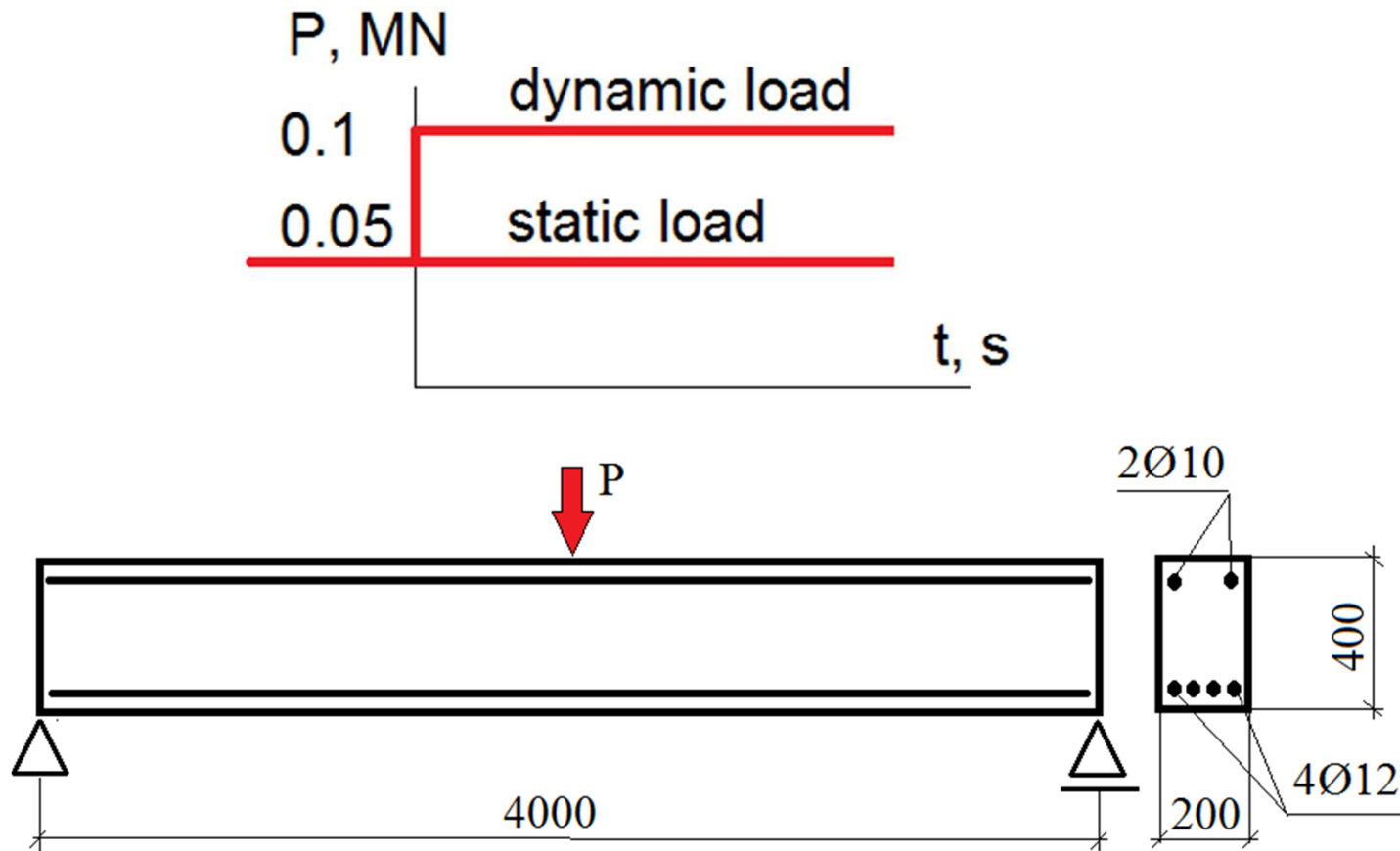


Диаграмма $\sigma_i - \epsilon_i$ для стали.
Элемент 100.



Упруго-пластическая и нелинейно-упругая модели материала.

Рассматривается задача 1.



Прогиб в середине пролета. Вязкое трение отсутствует.

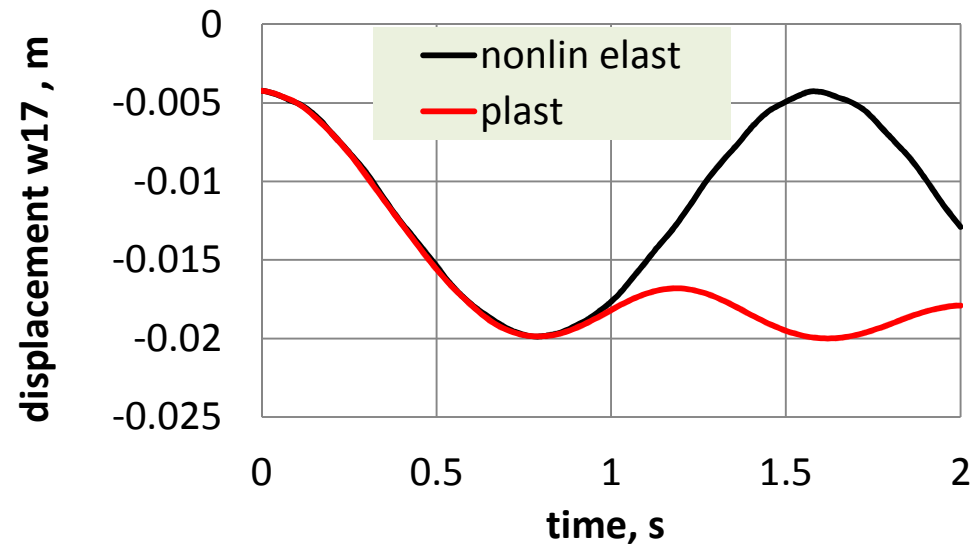


Диаграмма $\sigma_i - \epsilon_i$ в бетоне
(упруго-пластическая модель)

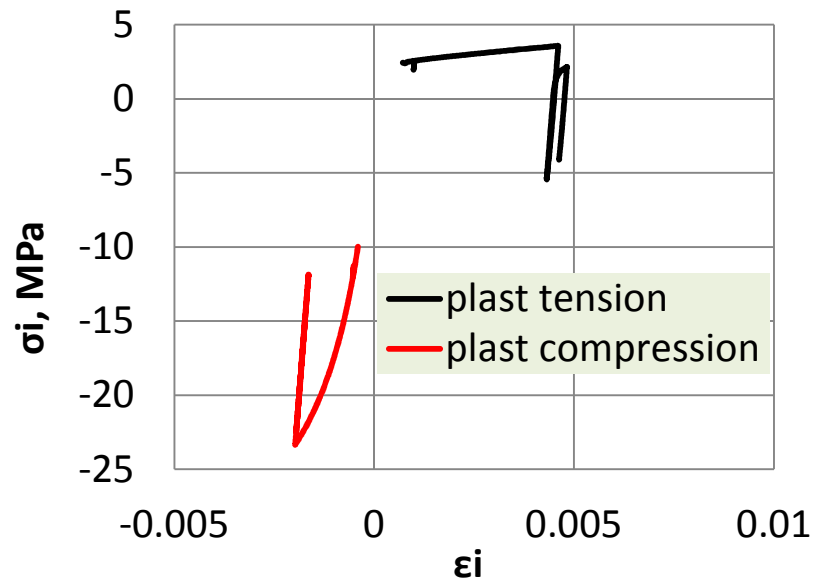
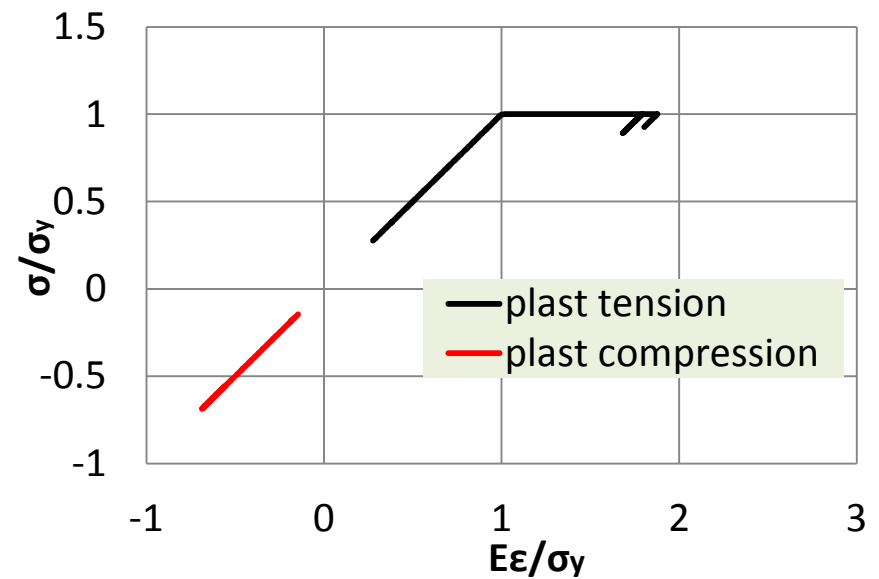


Диаграмма $\sigma - \epsilon$ в стали
(упруго-пластическая модель)



Заключение

- Предложенный подход сочетает относительную простоту реализации по сравнению с другими подходами и демонстрирует результаты, хорошо согласующиеся с результатами физических экспериментов и численными решениями, использующими более точные механические модели.
- Разработанный конечный элемент не требует привязки к арматурным стержням и устойчиво работает на косоугольных сетках, что должно позволить его применение для анализа областей со сложной геометрией.
- Формулирование соотношений деформационной теории пластичности в терминах остаточных деформаций позволило решать задачи о циклическом и динамическом нагружении.

БЛАГОДАРЮ ЗА ВНИМАНИЕ !